



Programa para cálculo de parâmetros de sequência em linhas de transmissão subterrâneas

Matheus Garcia Ribeiro
m.g.ribeiro@ieee.org

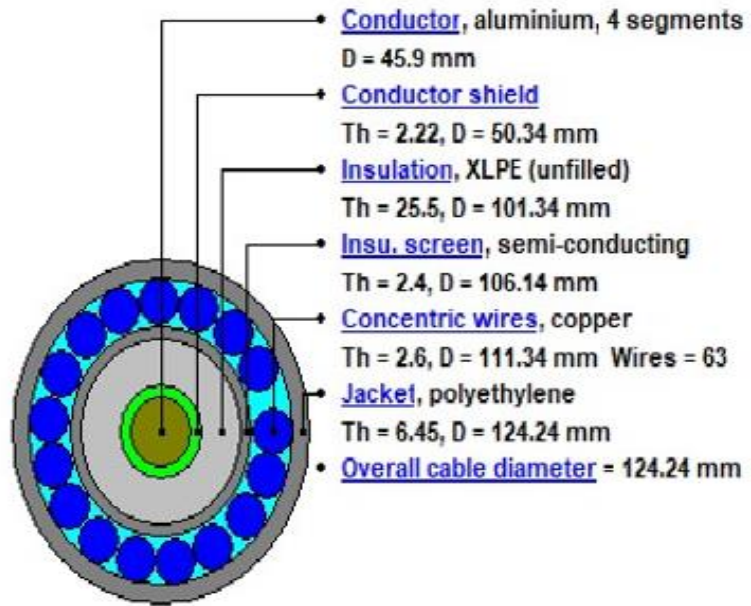
Ferramenta Piloto de Cálculo – Visão Geral



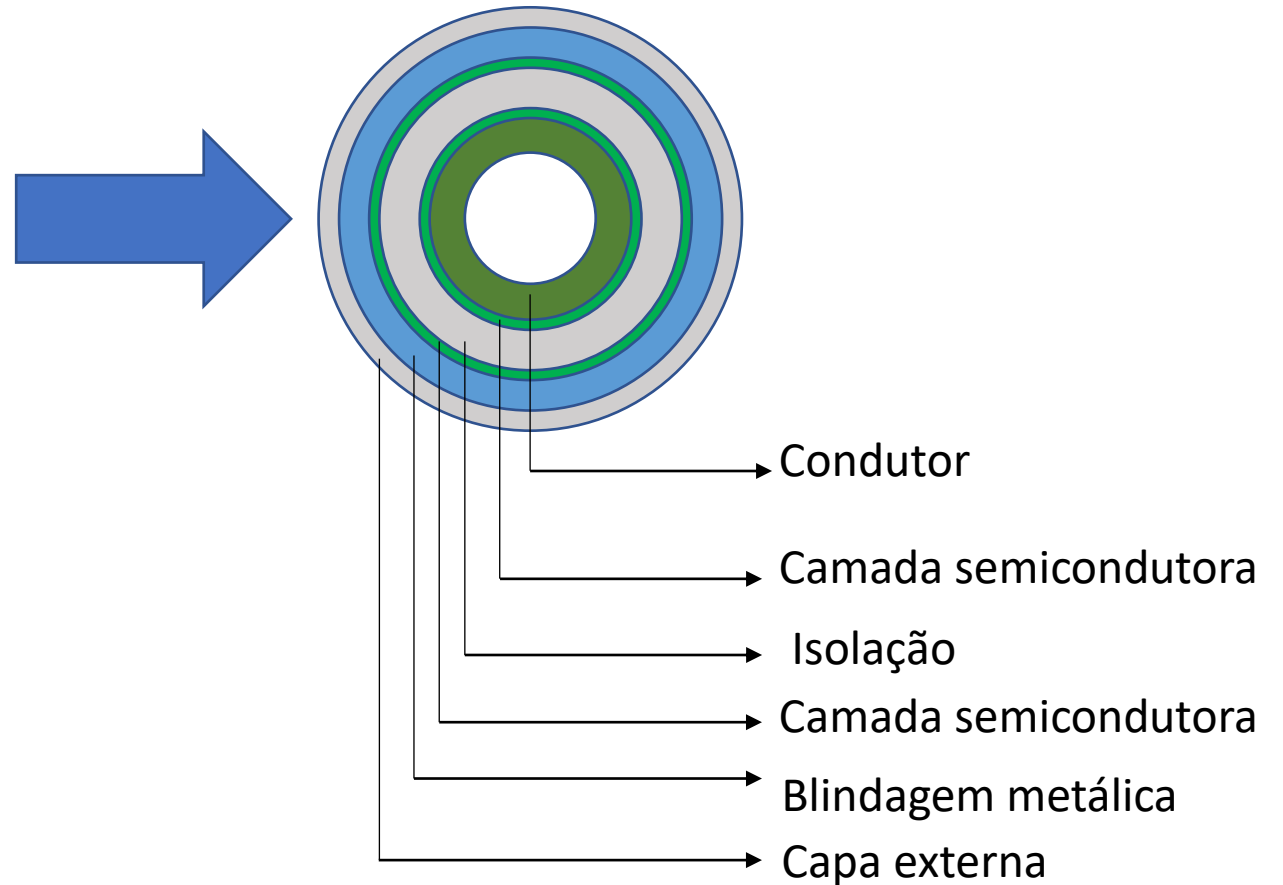
Disponível em
<https://github.com/mgarciaribeiro/Sispot>

- Por que calcular parâmetros de cabos subterrâneos?
 - Cable Constants não fornece diretamente estes valores;
 - CYMCAP é um software caro e não possuímos, além disso, necessário módulo específico;
- Ferramenta desenvolvida em linguagem Python, calculando parâmetros de sequência e decomposição modal (análise qualitativa) para até 2 circuitos.
- Fornece ao final dos cálculos as entradas para inserir no ATP, de modo a obtermos matrizes Z_{serie} e Y_{shunt} compatíveis entre a rotina e Cable Constants do ATP.
- Entradas interativas.

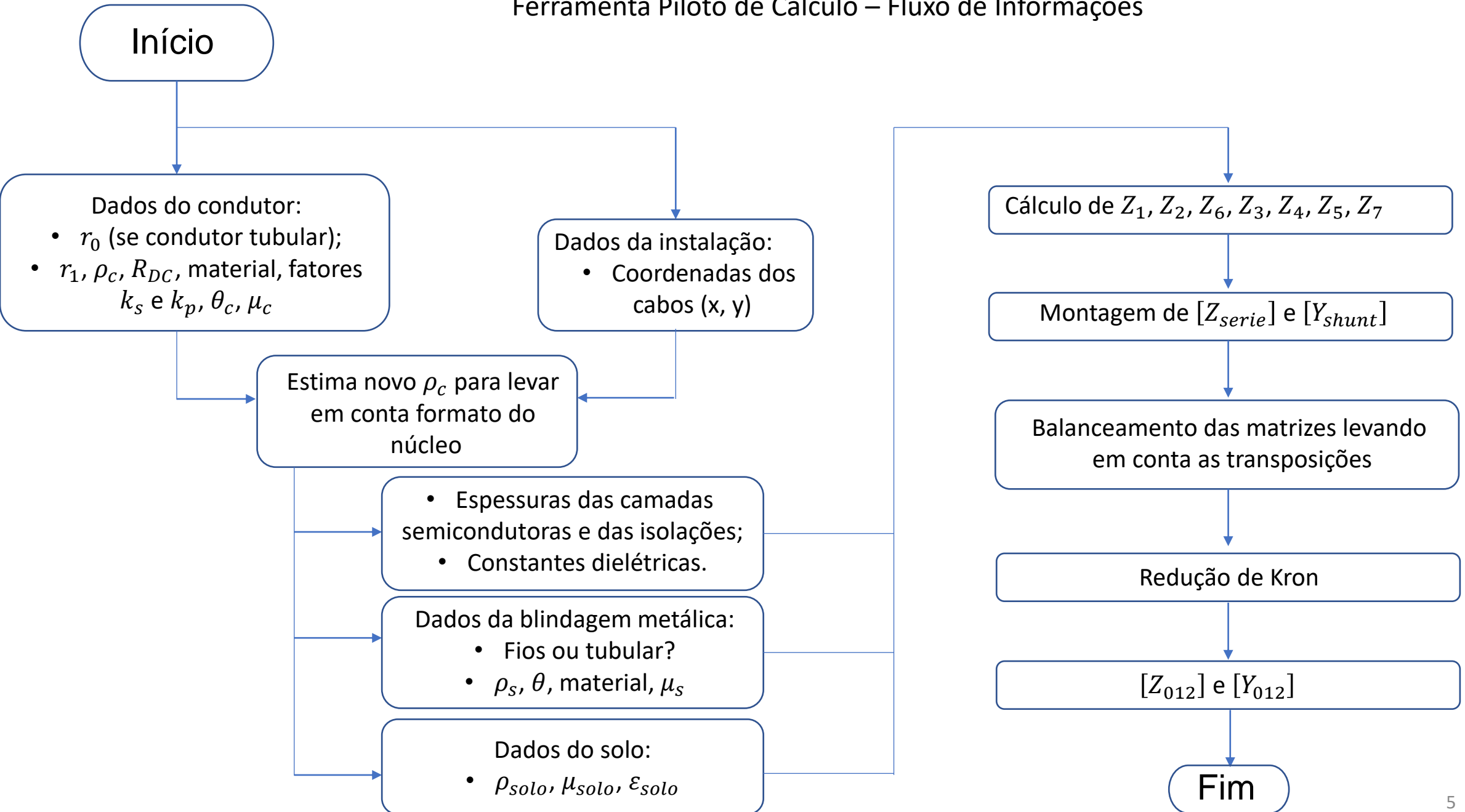
- Princípios da modelagem



Voltage = 345.0 kV **Cond. area** = 1400.0 mm²



Ferramenta Piloto de Cálculo – Fluxo de Informações



- IEC 60287-1-1:2006 [1]

$$R_{ac} = R_{DC}(1 + y_s + y_p)$$

R_{AC} : Resistência em corrente alternada;

R_{DC} : Resistência em corrente contínua na temperatura desejada;

y_s : Fator de correção para levar em conta o efeito pelicular. É função do formato do núcleo;

y_p : Fator de correção para levar em conta o efeito de proximidade. É função do formato do núcleo.

- IEC 60287-1-1:2006

$$R_{DC} = R_{DC@20} (1 + \alpha_{20} (\theta_c - 20))$$

$R_{DC@20}$: Tensão em corrente contínua para 20°C. IEC 60228 apresenta valores mínimos de referência em função da seção transversal e material do condutor (cobre ou alumínio);

α_{20} : Fator de correção da resistência em função da temperatura em 20°C.

Alumínio: 0,00403 °C⁻¹

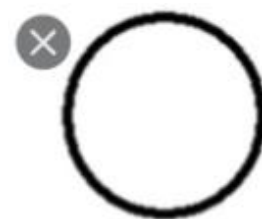
Cobre: 0,00393 °C⁻¹

θ_c : Temperatura desejada para o cálculo em °C.

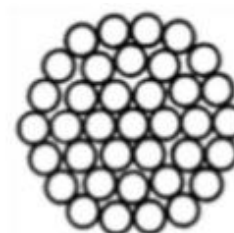
- IEC 60287-1-1:2006 – Correção com efeito pelicular

- Condutor de cobre

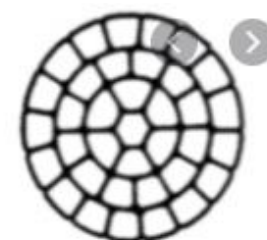
Condutor	ks
Sólido	1
Encordoadado	1
Miliken	0,35



Round, solid



Round, stranded



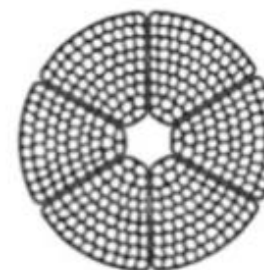
Round stranded compacted

- Condutor de alumínio

Condutor	ks
Sólido	1
Encordoadado	1
Miliken	0,25



4, 5 or 6 equal segments (Miliken)



4, 5 or 6 equal segments hollow (Miliken) with or without core



Round, with profiled strands

- Condutor tubular

$$k_s = \frac{r_1 - r_0}{r_1 + r_0} \times \left(\frac{r_1 + 2r_0}{r_1 + r_0} \right)^2$$

- IEC 60287-1-1:2006 – Correção com efeito pelicular

$$x_s = \sqrt{\frac{8\pi f}{R_{DC}} \times 10^{-7} \times k_s}$$

f : Frequência de cálculo em Hz;

$$y_s = \frac{x_s^4}{192 + 0,8x_s^4}, \text{ se } 0 < x_s \leq 2,8$$

$$y_s = -0,136 - 0,0177x_s + 0,0563x_s^2, \text{ se } 2,8 < x_s \leq 3,8$$

$$y_s = 0,354x_s - 0,733, \text{ se } x_s > 3,8$$

- IEC 60287-1-1:2006 – Correção com efeito de proximidade

- Condutor de cobre

Condutor	kp
Sólido	1
Encordado	1
Miliken	0,2

- Condutor de alumínio

Condutor	kp
Sólido	1
Encordado	1
Miliken	0,15

- IEC 60287-1-1:2006 – Correção com efeito de proximidade

$$x_p = \sqrt{\frac{8\pi f}{R_{DC}} \times 10^{-7} \times k_p}$$

f : Frequência de cálculo em Hz;

$$y_p = \frac{x_p^4}{192 + 0,8 x_p^4} \left(\frac{d_c}{s} \right)^2 \left[0,312 \left(\frac{d_c}{s} \right)^2 + \frac{1,18}{\frac{x_p^4}{192 + 0,8 x_p^4} + 0,27} \right]$$

d_c : Diâmetro do condutor;

s : Distância entre dois condutores

- Equações analíticas que constam na literatura técnica não levam em conta o formato do condutor e o efeito de proximidade, porém, consideram efeito pelicular [2]:
- Condutor sólido:

$$Z_c = \frac{\rho_c m_c}{2\pi r_1} \frac{I_0(m_c r_1)}{I_1(m_c r_1)}$$

ρ_c : Resistividade elétrica do condutor ($\Omega \cdot m$)

r_1 : Raio externo do condutor (m)

$I_0(m_c r_1)$: Função de Bessel modificada de primeira espécie e ordem 0;

$I_1(m_c r_1)$: Função de Bessel modificada de primeira espécie e ordem 1.

$$m_c = \sqrt{\frac{j\omega\mu_c\mu_0}{\rho_c}}$$

ω : Frequência angular ($2\pi f$) em rad/s;

μ_c : Permeabilidade relativa do condutor;

μ_0 : Permeabilidade magnética do ar ($4\pi 10^{-7} H/m$)

- Condutor tubular [3]:

$$Z_c = \frac{\rho_c m_c}{2\pi r_c} \left[\frac{I_0(m_c r_1) K_1(m_c r_0) + K_0(m_c r_1) I_1(m_c r_0)}{I_1(m_c r_1) k_1(m_c r_0) - I_1(m_c r_0) K_0(m_c r_1)} \right]$$

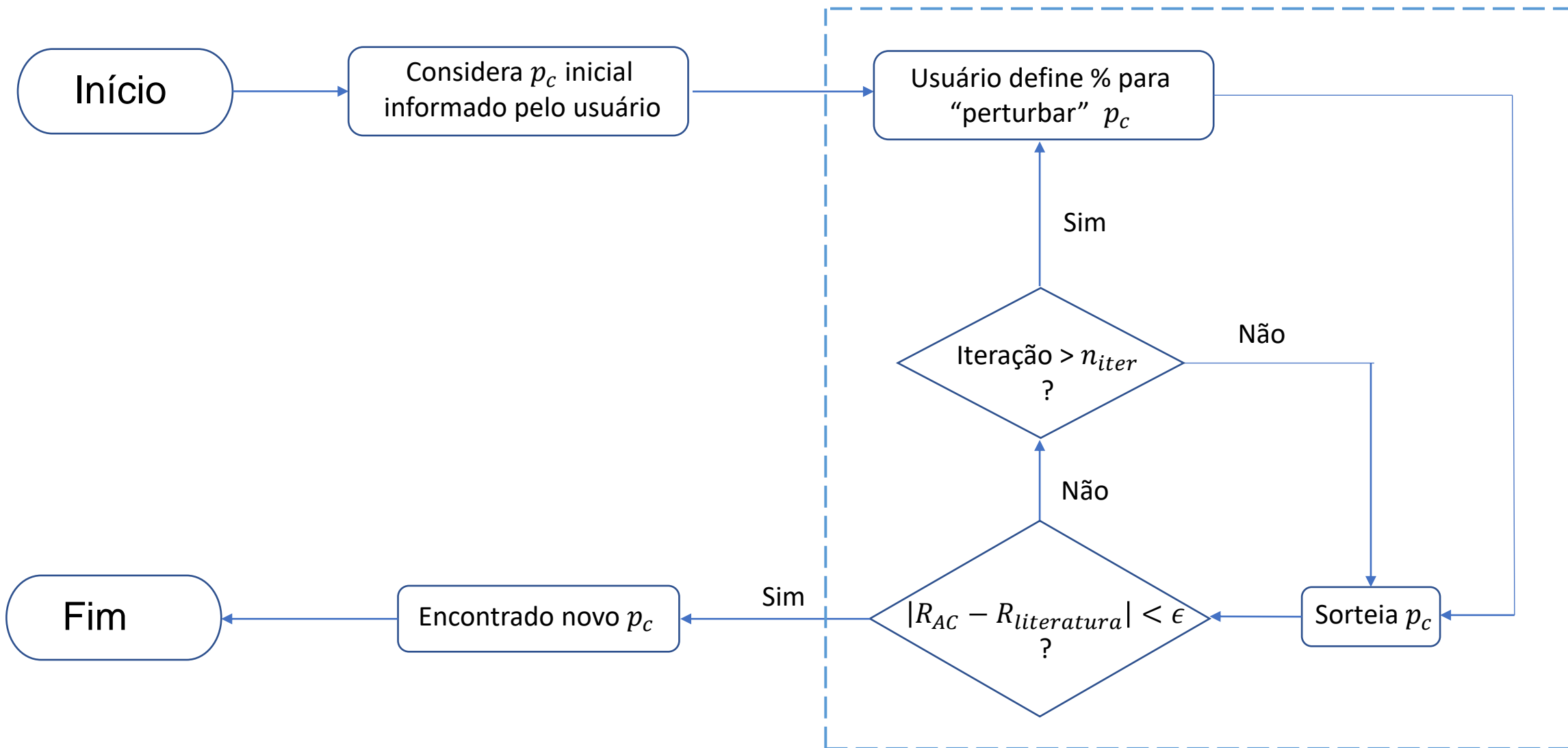
r_0 : Raio interno do condutor.

K_0 : Função de Bessel modificada de segunda espécie e ordem zero;

K_1 : Função de Bessel modificada de segunda espécie e ordem 1;

- Ao final dos cálculos, partindo de R_{AC} obtido a partir da norma, recalculamos o valor de p_c para que o valor da resistência conforme equações da literatura técnica seja praticamente igual ao primeiro;
- Para isso, p_c é alterado de forma aleatória dentro de um intervalo pré-especificado até satisfazer a relação $R_{AC} = R_{literatura}$;
- Repete sorteio de p_c enquanto número de iterações for inferior a n_{iter} e $|R_{AC} - R_{literatura}| > erro$;
- Valores default. $n_{iter} = 100000$ e $erro = 0,1\%$.

Ferramenta Piloto de Cálculo – Tratamento do Condutor



- Condutor:
 - r_0 : Raio interno (se tubular);
 - r_1 : Raio externo.
- Isolação:
 - r_2 : Raio externo

$$r_2 = r_1 + e_{sc-in} + e_{isol} + e_{sc-ou}$$

- e_{sc-in} : Espessura da primeira camada semi-condutora (blindagem do condutor);
- e_{isol} : Espessura da isolação;
- e_{sc-ou} : Espessura da segunda camada semi-condutora.

- Blindagem metálica pode ter diversas formas construtivas:
 - Fios metálicos;
 - Fitas metálicas;
 - Fios + fitas metálicas.
- Usuário indica formação da blindagem;
- Fitas metálicas → Condutor tubular:

$$r_3 = r_2 + e_{fitas}$$

- e_{fitas} : Espessura das fitas

- Fios metálicos → Possibilidades:
 - Altera a resistividade do material em função da espessura:

$$r_3 = r_2 + e_{fios}$$

- e_{fios} : Espessura dos fios metálicos
- Calcula raio para mesma área da blindagem [4]:

$$r_3 = \sqrt{\frac{\pi \cdot n_{fios} \cdot \left(\frac{e_{fios}}{2}\right)^2}{\pi}} + r_2^2$$

- n_{fios} : Número de fios

- Fios metálicos + Fitas metálicas:

$$R_{bl} = \frac{\frac{\rho_{Al}}{S_{Al}} \times \frac{\rho_{Cu}}{S_{Cu}}}{\frac{\rho_{Al}}{S_{Al}} + \frac{\rho_{Cu}}{S_{Cu}}}$$

$$\rho_{bl} = S_{bl} \times R_{bl}$$

$$S_{bl} = S_{Al} + S_{Cu}$$

$$r_3 = \sqrt{\frac{S_{bl}}{\pi} + r_2^2}$$

R_{bl} : Resistência da blindagem

ρ_{Al} : Resistividade das fitas (alumínio)

ρ_{Cu} : Resistividade dos fios (cobre)

S_{Al} : Área das fitas (alumínio)

S_{Cu} : Área dos fios (cobre)

S_{bl} : Área da blindagem metálica

ρ_{bl} : Resistividade da blindagem metálica

Ferramenta Piloto de Cálculo – Correção das constantes da Isolação

- Capa externa (2ª isolação):

$$r_4 = r_3 + e_{capa}$$

- e_{capa} : Espessura da capa protetora
- Correção da permissividade elétrica por causa das camadas semicondutoras [4]

$$\varepsilon'_1 = \varepsilon_1 \cdot \frac{\ln\left(\frac{r_2}{r_1}\right)}{\ln\left(\frac{b}{a}\right)}$$

- ε_1 : Permissividade elétrica da isolação

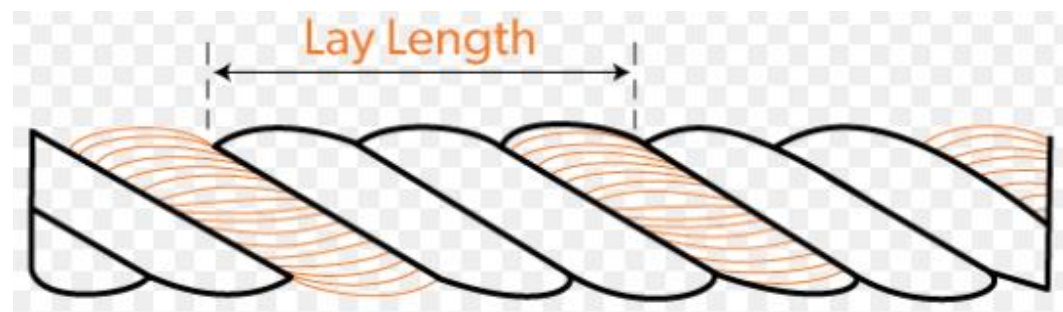
$$\begin{aligned} a &= r_1 + e_{sc-in} \\ b &= a + e_{isol} \end{aligned}$$

- Correção é optativa

- Correção da permeabilidade magnética por causa da blindagem de fios metálicos (ειεεεεε solenóide) [5]

$$\mu'_{isol} = \mu_{isol} \cdot \frac{1 + \left(2 \cdot \left(\frac{1}{l_{lay}} \right)^2 \cdot \pi^2 \cdot (r_2^2 - r_1^2) \right)}{\ln \left(\frac{r_2}{r_1} \right)}$$

- μ_{isol} : Permeabilidade magnética da camada isolante
- l_{lay} : Comprimento necessário para que a blindagem de uma volta completa em torno da camada isolante



- Correção é optativa

- Z_1 : Impedância interna do condutor

- Método aproximado [6]

$$Z_1 = \frac{\rho_c \cdot m_c}{2 \cdot \pi \cdot r_1} \cdot \frac{1}{\tanh(0,777 \cdot m_c \cdot r_1)} + \frac{0,356 \cdot \rho_c}{\pi \cdot r_1^2}$$

- \tanh : Função tangente hiperbólica
 - Método completo [3]
 - Equações para condutor tubular ou sólido já apresentadas anteriormente

- Z_2 : Impedância devido a variação do campo magnético na isolação principal [6]

$$Z_2 = \frac{j\omega\mu'_{isol}}{2\pi} \cdot \ln\left(\frac{r_2}{r_1}\right)$$

- Z_6 : Impedância devido a variação do campo magnético na capa externa [6]

$$Z_6 = \frac{j\omega\mu_{capa}}{2\pi} \cdot \ln\left(\frac{r_4}{r_3}\right)$$

Ferramenta Piloto de Cálculo – Cálculo das impedâncias

- Z_3 : Impedância dada pela queda de tensão na superfície interna da blindagem devido a corrente no condutor
 - Método aproximado [6]

$$Z_3 = \frac{\rho_s \cdot m_s}{2\pi \cdot r_2} \cdot \frac{1}{\tanh(m_s \cdot \Delta) - \frac{\rho_s}{2\pi \cdot r_2 (r_2 + r_3)}}$$

$$m_s = \sqrt{j \frac{\omega \cdot \mu_s}{\rho_s}}$$

$$\Delta = r_3 - r_2$$

- ρ_s : Resistividade da blindagem metálica
- μ_s : Permeabilidade magnética da blindagem metálica

Ferramenta Piloto de Cálculo – Cálculo das impedâncias

- Z_3 : Impedância dada pela queda de tensão na superfície interna da blindagem devido a corrente no condutor
 - Método completo [3]

$$Z_3 = \frac{\rho_s \cdot m_s}{2\pi \cdot r_2} \cdot \frac{I_0(m_s \cdot r_2)K_1(m_s \cdot r_3) + K_0(m_s \cdot r_2)I_1(m_s \cdot r_3)}{I_1(m_s \cdot r_3)K_1(m_s \cdot r_2) - I_1(m_s \cdot r_2)K_1(m_s \cdot r_3)}$$

- Z_4
 - Método aproximado [6]

$$Z_4 = \frac{\rho_s \cdot m_s}{2\pi \cdot (r_2 + r_3)} \cdot \frac{1}{\sinh(m_s \cdot \Delta)}$$

- Método completo [3]

$$Z_4 = \frac{\rho_s}{2\pi \cdot r_2 \cdot r_3} \cdot \frac{1}{I_1(m_s \cdot r_3) \cdot K_1(m_s \cdot r_2) - I_1(m_s \cdot r_2) \cdot K_1(m_s \cdot r_3)}$$

- Z_5 : Impedância dada pela queda de tensão na superfície externa da blindagem devido a corrente pelo solo
 - Método aproximado [6]

$$Z_5 = \frac{\rho_s \cdot m_s}{2\pi \cdot r_3} \cdot \frac{1}{\tanh(m_s \cdot \Delta)} + \frac{\rho_s}{2\pi \cdot r_3 \cdot (r_2 + r_3)}$$

- Método completo [3]

$$Z_5 = \frac{\rho_s \cdot m_s}{2\pi \cdot r_3} \cdot \frac{I_0(m_s \cdot r_3) \cdot K_1(m_s \cdot r_2) + K_0(m_s \cdot r_3) \cdot I_1(m_s \cdot r_2)}{I_1(m_s \cdot r_3) \cdot K_1(m_s \cdot r_2) - I_1(m_s \cdot r_2) \cdot K_1(m_s \cdot r_3)}$$

- Matriz de impedâncias “internas” do cabo. Para sistema com m cabos:

$$[Z_{int}]_{m \times m} = \begin{array}{c} \begin{array}{ccccc} & Z_{\text{núcleo-núcleo}} & & & \\ \begin{bmatrix} Z_{11} & 0 & \dots & 0 \\ 0 & Z_{22} & \dots & 0 \\ \vdots & \vdots & \ddots & \vdots \\ 0 & 0 & \dots & Z_{mm} \end{bmatrix} & \begin{array}{c} Z_{\text{núcleo-blindagem}} \\ \begin{bmatrix} Z_{1(m+1)} & 0 & \dots & 0 \\ 0 & Z_{2(m+2)} & \dots & 0 \\ \vdots & \vdots & \ddots & \vdots \\ 0 & 0 & \dots & Z_{m(m+m)} \end{bmatrix} \end{array} \\ \hline \begin{array}{c} Z_{\text{blindagem-núcleo}} \\ \begin{bmatrix} Z_{1(m+1)} & 0 & \dots & 0 \\ 0 & Z_{2(m+2)} & \dots & 0 \\ \vdots & \vdots & \ddots & \vdots \\ 0 & 0 & \dots & Z_{m(m+m)} \end{bmatrix} \end{array} & \begin{array}{c} Z_{\text{blindagem-blindagem}} \\ \begin{bmatrix} Z_{(m+1)(m+1)} & 0 & \dots & 0 \\ 0 & Z_{(m+1)(m+1)} & \dots & 0 \\ \vdots & \vdots & \ddots & \vdots \\ 0 & 0 & \dots & Z_{(m+m)(m+m)} \end{bmatrix} \end{array} \end{array}$$

$$\begin{aligned}
 Z_{\text{núcleo-núcleo}} &= Z_1 + Z_2 + Z_3 + Z_5 + Z_6 - 2Z_4 \\
 Z_{\text{núcleo-blindagem}} &= Z_5 + Z_6 - Z_4 = Z_{\text{blindagem-núcleo}} \\
 Z_{\text{blindagem-blindagem}} &= Z_5 + Z_6
 \end{aligned}$$

- Matriz de impedâncias de retorno pelo solo. Ordem da matriz análogo ao caso da impedância interna:
 - Método aproximado [6]:

$$Z_{ii}^{solo} = \frac{j\omega\mu_{solo}}{2\pi} \left(-\ln \left(\frac{\gamma \cdot m_{solo} \cdot r_4}{2} \right) + \frac{1}{2} - \frac{4}{3} m_{solo} Y_i \right)$$

- Z_{ii}^{solo} : Impedância própria de retorno pelo solo do cabo i, da blindagem do cabo i e entre núcleo e blindagem do mesmo cabo;

$$m_{solo} = \sqrt{\frac{j\omega\mu_{solo}}{\rho_{solo}}}$$

- γ : 0,5772156649 (Constante de Euler);
- Y_i : Profundidade do cabo i em relação a superfície do solo;
- r_4 : Raio externo do cabo.

- Matriz de impedâncias de retorno pelo solo. Ordem da matriz análogo ao caso da impedância interna:
 - Método aproximado [6]:

$$Z_{ij}^{solo} = \frac{j\omega\mu_{solo}}{2\pi} \left(-\ln \left(\frac{\gamma \cdot m_{solo} \cdot D_{ij}}{2} \right) + \frac{1}{2} - \frac{2}{3} m_{solo} (Y_i + Y_j) \right)$$

- Z_{ij}^{solo} : Impedância mútua de retorno pelo solo entre condutor (núcleo ou blindagem) do cabo i e entre condutor (núcleo ou blindagem) do cabo j;
- D_{ij} : Distância entre condutor do cabo i e condutor do cabo j (distância entre cabos).

- Matriz de impedâncias de retorno pelo solo. Ordem da matriz análogo ao caso da impedância interna:
 - Método quase-completo [7]:

$$Z_{ii}^{solo} = \frac{\rho_{solo} m_{solo}^2}{2\pi} \left(K_0(m_{solo} \cdot r_4) + \frac{2}{4 + m_{solo}^2 r_4^2} e^{-2Y_i m_{solo}} \right)$$

$$Z_{ij}^{solo} = \frac{\rho_{solo} m_{solo}^2}{2\pi} \left(K_0(m_{solo} \cdot D_{ij}) + \frac{2}{4 + m_{solo}^2 x_{ij}^2} e^{-y_{ij} m_{solo}} \right)$$

- x_{ij} : Distância entre as abscissas dos condutores i e j;
- y_{ij} : Soma das ordenadas dos condutores i e j.

Ferramenta Piloto de Cálculo – Cálculo das impedâncias

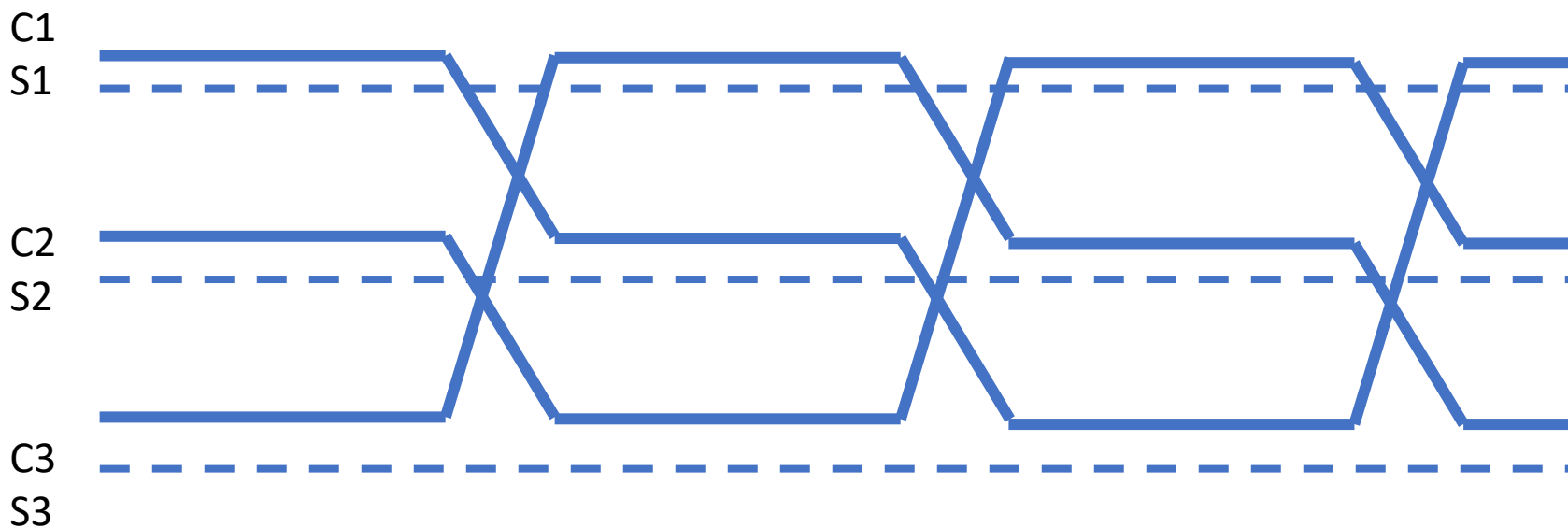
- Matriz de impedâncias série:

$$Z_{serie} = Z_{int} + Z_{solo}$$

- As capacitâncias existentes em um sistema contendo cabos isolados são dadas apenas pelas:
 - Capacitância núcleo-blindagem;
 - Capacitância blindagem-terra.
- Matriz de admitâncias shunt é montada de forma semelhante à matriz de admitâncias nodais:
 - Y_{nn} : Admitância própria do núcleo, dada pela capacitância entre núcleo e blindagem:
$$Y_{nn} = j\omega \frac{\epsilon'_1}{\ln\left(\frac{r_2}{r_1}\right)}$$
 - Y_{nb} : Admitância entre núcleo e blindagem: $Y_{nb} = -Y_{nn}$
 - Y_{bb} : Admitância própria da blindagem, dada pela soma de Y_{nn} com a capacitância entre blindagem e terra: $Y_{bb} = Y_{nn} + j\omega \frac{\epsilon_2}{\ln\left(\frac{r_4}{r_3}\right)}$

Ferramenta Piloto de Cálculo – Transposições

Condutores de fase trocando de posição e respectivas blindagens mantendo as posições



$$[R] = \begin{matrix} & \begin{matrix} c1 & c2 & c3 & s1 & s2 & s3 \end{matrix} \\ \begin{bmatrix} 0 & 1 & 0 & 0 & 0 & 0 \\ 0 & 0 & 1 & 0 & 0 & 0 \\ 1 & 0 & 0 & 0 & 0 & 0 \\ 0 & 0 & 0 & 1 & 0 & 0 \\ 0 & 0 & 0 & 0 & 1 & 0 \\ 0 & 0 & 0 & 0 & 0 & 1 \end{bmatrix} & \begin{matrix} c1 \\ c2 \\ c3 \\ s1 \\ s2 \\ s3 \end{matrix} \end{matrix}$$

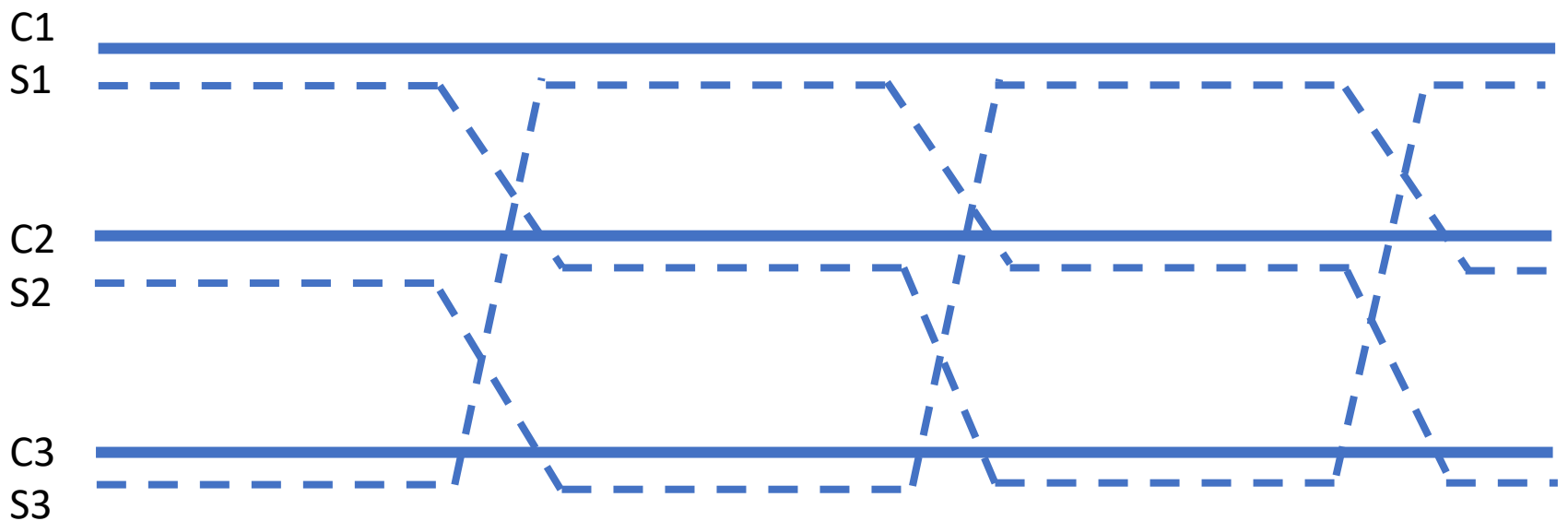
Após um ciclo completo e considerando seções iguais [8]:

$$[Z_{eq}] = \frac{1}{3} ([Z_{serie}] + [R][Z_{serie}][R]^{-1} + [R]^{-1}[Z_{serie}][R])$$

No CYMCAP, Z_{eq} é a matriz “bonding”

Ferramenta Piloto de Cálculo – Transposições

Blindagens trocando de posição e respectivos condutores de fase mantendo as posições



Após um ciclo completo e considerando seções iguais [8]:

$$[Z_{eq}] = \frac{1}{3} ([Z_{serie}] + [R][Z_{serie}][R]^{-1} + [R]^{-1}[Z_{serie}][R])$$

No CYMCAP, Z_{eq} é a matriz “bonding”

$$[R] = \begin{bmatrix} \text{c1} & \text{c2} & \text{c3} & \text{s1} & \text{s2} & \text{s3} \\ 1 & 0 & 0 & 0 & 0 & 0 \\ 0 & 1 & 0 & 0 & 0 & 0 \\ 0 & 0 & 1 & 0 & 0 & 0 \\ 0 & 0 & 0 & 0 & 1 & 0 \\ 0 & 0 & 0 & 0 & 0 & 1 \\ 0 & 0 & 0 & 1 & 0 & 0 \end{bmatrix} \begin{matrix} \text{c1} \\ \text{c2} \\ \text{c3} \\ \text{s1} \\ \text{s2} \\ \text{s3} \end{matrix}$$

Procedimento para cálculos dos parâmetros de sequência

Após um ciclo completo e considerando seções menores iguais:

$$[Z_{eq}] = \frac{1}{3} ([Z] + [R][Z][R]^{-1} + [R]^{-1}[Z][R])$$

No CYMCAP, Z_{eq} é a matriz “*bonding*”

$$[Z_{eq}] = \begin{bmatrix} [Z_{cc}] & [Z_{cs}] \\ [Z_{sc}] & [Z_{ss}] \end{bmatrix}$$

Redução de Kron:

$$[Z_{red}] = \{[Z_{cc}] - [Z_{cs}][Z_{ss}]^{-1}[Z_{sc}]\}$$

No CYMCAP, $[Z_{red}]$ é a matriz “*phase*” ou “*circuit*”

Impedâncias de sequência (mesmo raciocínio é aplicado para matriz de admitâncias)

$$[Z_{012}] = [T]^{-1}[Z_{red}][T]$$

$$[T] = \begin{bmatrix} 1 & 1 & 1 \\ 1 & \alpha^2 & \alpha \\ 1 & \alpha & \alpha^2 \end{bmatrix}$$

$$\alpha = 1 < 120^\circ$$

Ferramenta Piloto de Cálculo – Exemplo de Cálculo 1

Circuito simples, 1200 mm² com formação horizontal

Dados do cabo (1200 mm ²)		
Condutor (Núcleo) - 90°C		
Material	Alumínio	
Diâmetro Interno	0,0	mm
Diâmetro Externo	41,5	mm
Resistividade elétrica	2,8264E-8	ρ.m
Coef. de temperatura a 20°C	0,00403	1/K
Construção	4 Segmentos	
ks	0,25	
kp	0,15	
Blindagem do condutor (1ª cam. Semi-condutora)		
Espessura	2,22	mm
Isolação		
Material	XLPE	
Espessura	26,5	mm
Perm. Elétrica relativa	2,5	
Blindagem da isolação (2ª cam. Semi-condutora)		
Espessura	2,4	mm
Blindagem Metálica - 77,2 °C		
Construção	Fios de Cobre	
Resistividade elétrica	1,7241E-8	ρ.m
Coef. de temperatura a 20°C	0,00393	1/K
Número de fios	56	
Espessura dos fios	2,6	mm
Length of Lay	850	mm
Capa externa		
Material	Polietileno	
Espessura	6,45	mm
Perm. Elétrica relativa	2,5	

Posição dos cabos (ρ solo = 100 ρ.m)					
Cabo 1		Cabo 2		Cabo 3	
x (m)	y (m)	x (m)	y (m)	x (m)	y (m)
-0,4	1,5	0	1,5	0,4	1,5

Valores calculados						
Método	r1 (Ω/km)	x1 (Ω/km)	b1 (μS/km)	r0 (Ω/km)	x0 (Ω/km)	b0 (μS/km)
Python	0,0319	0,2581	68,31	0,1026	0,0898	68,31
Cigré	0,0319	0,2593	68,31	0,0943	0,0834	68,31
Diferenças						
	r1 (%)	x1 (%)	r0 (%)	x0 (%)		
	0	-0,46	8,80	7,67		

Cálculos “Cigré” conforme TB 531.

Ferramenta Piloto de Cálculo – Exemplo de Cálculo 1

Utilização dos dados de saída para entrada na rotina Cable Constants no ATP
Comparações entre resultados: Z_{serie} e Y_{shunt} (Python x ATP)

Diferenças percentuais entre matrizes Zserie: Python x ATP						
Δ Real (%)						
	c1	c2	c3	s1	s2	s3
c1	0,44	0,67	0,67	0,67	0,67	0,67
c2	0,67	0,44	0,67	0,67	0,67	0,67
c3	0,67	0,67	0,44	0,67	0,67	0,67
s1	0,67	0,67	0,67	0,04	0,67	0,67
s2	0,67	0,67	0,67	0,67	0,04	0,67
s3	0,67	0,67	0,67	0,67	0,67	0,04
Δ Imaginário (%)						
	c1	c2	c3	s1	s2	s3
c1	-0,05	-0,07	-0,08	-0,06	-0,07	-0,08
c2	-0,07	-0,05	-0,07	-0,07	-0,06	-0,07
c3	-0,08	-0,07	-0,05	-0,08	-0,07	-0,06
s1	-0,06	-0,07	-0,08	-0,06	-0,07	-0,08
s2	-0,07	-0,06	-0,07	-0,07	-0,06	-0,07
s3	-0,08	-0,07	-0,06	-0,08	-0,07	-0,06

$$Dif = \frac{Valor_{Python} - Valor_{ATP}}{Valor_{ATP}} \times 100\%$$

Diferenças percentuais entre matrizes Yshunt: Python x ATP						
Δ Imaginário (%)						
	c1	c2	c3	s1	s2	s3
c1	-0,19	0,00	0,00	-0,19	0,00	0,00
c2	0,00	-0,19	0,00	0,00	-0,19	0,00
c3	0,00	0,00	-0,19	0,00	0,00	-0,19
s1	-0,19	0,00	0,00	-0,06	0,00	0,00
s2	0,00	-0,19	0,00	0,00	-0,06	0,00
s3	0,00	0,00	-0,19	0,00	0,00	-0,06

Ferramenta Piloto de Cálculo – Exemplo de Cálculo 2

Circuito duplo, 1200 mm² com formação vertical

Dados do cabo (1200 mm²)		
Condutor (Núcleo) - 90°C		
Material	Alumínio	
Diâmetro Interno	0,0	mm
Diâmetro Externo	41,5	mm
Resistividade elétrica	2,8264E-8	ρ.m
Coef. de temperatura a 20°C	0,00403	1/K
Construção	4 Segmentos	
ks	0,25	
kp	0,15	
Blindagem do condutor (1ª cam. Semi-condutora)		
Espessura	2,22	mm
Isolação		
Material	XLPE	
Espessura	26,5	mm
Perm. Elétrica relativa	2,5	
Blindagem da isolação (2ª cam. Semi-condutora)		
Espessura	2,4	mm
Blindagem Metálica - 77,2 °C		
Construção	Fios de Cobre	
Resistividade elétrica	1,7241E-8	ρ.m
Coef. de temperatura	0,00393	1/K
Número de fios	56	
Espessura dos fios	2,6	mm
Length of Lay	850	mm
Capa externa		
Material	Polietileno	
Espessura	6,45	mm
Perm. Elétrica relativa	2,5	

Posição dos cabos (ρ solo = 100 ρ.m)											
Cabo 1		Cabo 2		Cabo 3		Cabo 4		Cabo 5		Cabo 6	
x (m)	y (m)	x (m)	y (m)	x (m)	y (m)	x (m)	y (m)	x (m)	y (m)	x (m)	y (m)
-0,35	2,1	-0,35	2,45	-0,35	2,8	0,35	2,1	0,35	2,45	0,35	2,8

Ferramenta Piloto de Cálculo – Exemplo de Cálculo 2

Utilização dos dados de saída para entrada na rotina Cable Constants no ATP

Comparações entre resultados: Z_{serie} (Python x ATP)

Diferenças percentuais entre matrizes Zserie: Python x ATP

Δ Real (%)													
	c1	c2	c3	c4	c5	c6	s1	s2	s3	s4	s5	s6	
c1	0,56	1,02	1,09	0,94	1,02	1,09	0,94	1,02	1,09	0,94	1,02	1,09	
c2	1,02	0,66	1,17	1,02	1,09	1,17	1,02	1,09	1,17	1,02	1,09	1,17	
c3	1,09	1,17	0,75	1,09	1,17	1,24	1,09	1,17	1,24	1,09	1,17	1,24	
c4	0,94	1,02	1,09	0,56	1,02	1,09	0,94	1,02	1,09	0,94	1,02	1,09	
c5	1,02	1,09	1,17	1,02	0,66	1,17	1,02	1,09	1,17	1,02	1,09	1,17	
c6	1,09	1,17	1,24	1,09	1,17	0,75	1,09	1,17	1,24	1,09	1,17	1,24	
s1	0,94	1,02	1,09	0,94	1,02	1,09	0,16	1,02	1,09	0,94	1,02	1,09	
s2	1,02	1,09	1,17	1,02	1,09	1,17	1,02	0,22	1,17	1,02	1,09	1,17	
s3	1,09	1,17	1,24	1,09	1,17	1,24	1,09	1,17	0,29	1,09	1,17	1,24	
s4	0,94	1,02	1,09	0,94	1,02	1,09	0,94	1,02	1,09	0,16	1,02	1,09	
s5	1,02	1,09	1,17	1,02	1,09	1,17	1,02	1,09	1,17	1,02	0,22	1,17	
s6	1,09	1,17	1,24	1,09	1,17	1,24	1,09	1,17	1,24	1,09	1,17	0,29	
Δ Imaginário (%)													
	c1	c2	c3	c4	c5	c6	s1	s2	s3	s4	s5	s6	
c1	-0,07	-0,10	-0,12	-0,11	-0,12	-0,13	-0,08	-0,10	-0,12	-0,11	-0,12	-0,13	
c2	-0,10	-0,08	-0,12	-0,12	-0,12	-0,13	-0,10	-0,09	-0,12	-0,12	-0,12	-0,13	
c3	-0,12	-0,12	-0,09	-0,13	-0,13	-0,14	-0,12	-0,12	-0,10	-0,13	-0,13	-0,14	
c4	-0,11	-0,12	-0,13	-0,07	-0,10	-0,12	-0,11	-0,12	-0,13	-0,08	-0,10	-0,12	
c5	-0,12	-0,12	-0,13	-0,10	-0,08	-0,12	-0,12	-0,12	-0,13	-0,10	-0,09	-0,12	
c6	-0,13	-0,13	-0,14	-0,12	-0,12	-0,09	-0,13	-0,13	-0,14	-0,12	-0,12	-0,10	
s1	-0,08	-0,10	-0,12	-0,11	-0,12	-0,13	-0,08	-0,10	-0,12	-0,11	-0,12	-0,13	
s2	-0,10	-0,09	-0,12	-0,12	-0,12	-0,13	-0,10	-0,09	-0,12	-0,12	-0,12	-0,13	
s3	-0,12	-0,12	-0,10	-0,13	-0,13	-0,14	-0,12	-0,12	-0,10	-0,13	-0,13	-0,14	
s4	-0,11	-0,12	-0,13	-0,08	-0,10	-0,12	-0,11	-0,12	-0,13	-0,08	-0,10	-0,12	
s5	-0,12	-0,12	-0,13	-0,10	-0,09	-0,12	-0,12	-0,12	-0,13	-0,10	-0,09	-0,12	
s6	-0,13	-0,13	-0,14	-0,12	-0,12	-0,10	-0,13	-0,13	-0,14	-0,12	-0,12	-0,10	

Ferramenta Piloto de Cálculo – Exemplo de Cálculo 2

Utilização dos dados de saída para entrada na rotina Cable Constants no ATP

Comparações entre resultados: Y_{shunt} (Python x ATP)

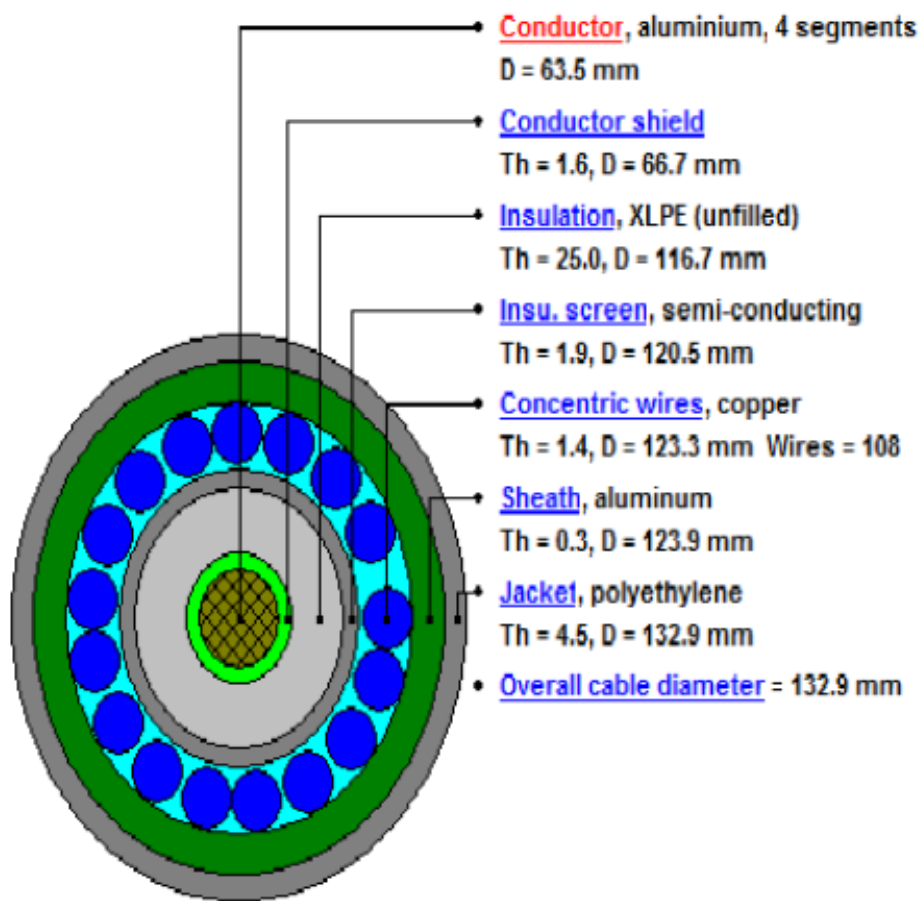
Diferenças percentuais entre matrizes Y_{shunt} : Python x ATP

Δ Imaginário (%)												
	c1	c2	c3	c4	c5	c6	s1	s2	s3	s4	s5	s6
c1	-0,19	0,00	0,00	0,00	0,00	0,00	-0,19	0,00	0,00	0,00	0,00	0,00
c2	0,00	-0,19	0,00	0,00	0,00	0,00	0,00	-0,19	0,00	0,00	0,00	0,00
c3	0,00	0,00	-0,19	0,00	0,00	0,00	0,00	0,00	-0,19	0,00	0,00	0,00
c4	0,00	0,00	0,00	-0,19	0,00	0,00	0,00	0,00	0,00	-0,19	0,00	0,00
c5	0,00	0,00	0,00	0,00	-0,19	0,00	0,00	0,00	0,00	0,00	-0,19	0,00
c6	0,00	0,00	0,00	0,00	0,00	-0,19	0,00	0,00	0,00	0,00	0,00	-0,19
s1	-0,19	0,00	0,00	0,00	0,00	0,00	-0,06	0,00	0,00	0,00	0,00	0,00
s2	0,00	-0,19	0,00	0,00	0,00	0,00	0,00	-0,06	0,00	0,00	0,00	0,00
s3	0,00	0,00	-0,19	0,00	0,00	0,00	0,00	0,00	-0,06	0,00	0,00	0,00
s4	0,00	0,00	0,00	-0,19	0,00	0,00	0,00	0,00	0,00	-0,06	0,00	0,00
s5	0,00	0,00	0,00	0,00	-0,19	0,00	0,00	0,00	0,00	0,00	-0,06	0,00
s6	0,00	0,00	0,00	0,00	0,00	-0,19	0,00	0,00	0,00	0,00	0,00	-0,06

$$Dif = \frac{Valor_{Python} - Valor_{ATP}}{Valor_{ATP}} \times 100\%$$

Ferramenta Piloto de Cálculo – Exemplo de Cálculo 3

Circuito duplo, 2500 mm² com formação horizontal (EPE-DEE-RE-047_2019)



Dados do cabo (2500 mm ²)		
Condutor (Núcleo) - 50°C		
Material	Alumínio	
Diâmetro Interno	0,0	mm
Diâmetro Externo	63,5	mm
Resistividade elétrica	2,8264E-8	ρ.m
Coef. de temperatura	0,00403	1/K
Construção	4 Segmentos	
ks	0,25	
kp	0,15	
Blindagem do condutor (1ª cam. Semi-condutora)		
Espessura	1,6	mm
Isolação		
Material	XLPE	
Espessura	25,0	mm
Perm. Elétrica relativa	2,5	
Blindagem da isolação (2ª cam. Semi-condutora)		
Espessura	1,9	mm
Blindagem Metálica - 50 °C		
Construção	Fios de Cobre + Fitas	
Resistividade elétrica fios	1,7241E-8	ρ.m
Coef. de temperatura a 20°C fios	0,00393	1/K
Número de fios	108	
Espessura dos fios	1,4	mm
Espessura das fitas	0,3	mm
Resistividade elétrica das fitas	2,8264E-8	ρ.m
Coef. de temperatura a 20°C fitas	0,00403	1/K
Capa externa		
Material	Polietileno	
Espessura	4,5	mm
Perm. Elétrica relativa	2,5	

Ferramenta Piloto de Cálculo – Exemplo de Cálculo 3

Circuito duplo, 2500 mm² com formação horizontal (EPE-DEE-RE-047_2019)

Posição dos cabos (ρ solo = 100 ρ .m)											
Cabo 1		Cabo 2		Cabo 3		Cabo 4		Cabo 5		Cabo 6	
x (m)	y (m)	x (m)	y (m)	x (m)	y (m)	x (m)	y (m)	x (m)	y (m)	x (m)	y (m)
-1	1,5	-0,6	1,5	-0,2	1,5	0,2	1,5	0,6	1,5	1	1,5

Valores calculados						
Método	r1 (Ω /km)	x1 (Ω /km)	b1 (μ S/km)	r0 (Ω /km)	x0 (Ω /km)	b0 (μ S/km)
Python	0,0148	0,2207	93,69	0,0928	0,0717	93,69
R1	0,0158	0,2226	93,69	0,1006	0,0804	93,69
Diferenças						
	r1 (%)	x1 (%)	r0 (%)	x0 (%)		
	-6,33	-0,85	-7,75	-10,82		

Cálculo apresentado no estudo (R1) foi feito com o software CYMCAP.

Ferramenta Piloto de Cálculo – Exemplo de Cálculo 3

Utilização dos dados de saída para entrada na rotina Cable Constants no ATP

Line/Cable Data: 2500_

Model Data Nodes

Cable number: 1| Paste Copy Delete ↑ Move ↓ # cables: 6

	CORE	SHEATH
Rin [m]	0	0.06025
Rout [m]	0.03175	0.06099
Rho [ohm*m]	2.6406060727E-8	2.2981920816E-8
mu	1	1
mu (ins)	1	1
eps (ins)	2.86	2.5

Total radius
R5 [m] 0.06549

Core
☒ On ☐ Ground

Sheath
☒ On ☐ Ground

Ferramenta Piloto de Cálculo – Exemplo de Cálculo 3

Utilização dos dados de saída para entrada na rotina Cable Constants no ATP

Comparações entre resultados: Z_{serie} (Python x ATP)

Diferenças percentuais entre matrizes Zserie: Python x ATP

Δ Real (%)												
	c1	c2	c3	c4	c5	c6	s1	s2	s3	s4	s5	s6
c1	0,48	0,67	0,67	0,67	0,67	0,67	0,67	0,67	0,67	0,67	0,67	0,67
c2	0,67	0,48	0,67	0,67	0,67	0,67	0,67	0,67	0,67	0,67	0,67	0,67
c3	0,67	0,67	0,48	0,67	0,67	0,67	0,67	0,67	0,67	0,67	0,67	0,67
c4	0,67	0,67	0,67	0,48	0,67	0,67	0,67	0,67	0,67	0,67	0,67	0,67
c5	0,67	0,67	0,67	0,67	0,48	0,67	0,67	0,67	0,67	0,67	0,67	0,67
c6	0,67	0,67	0,67	0,67	0,67	0,48	0,67	0,67	0,67	0,67	0,67	0,67
s1	0,67	0,67	0,67	0,67	0,67	0,67	0,10	0,67	0,67	0,67	0,67	0,67
s2	0,67	0,67	0,67	0,67	0,67	0,67	0,67	0,10	0,67	0,67	0,67	0,67
s3	0,67	0,67	0,67	0,67	0,67	0,67	0,67	0,67	0,10	0,67	0,67	0,67
s4	0,67	0,67	0,67	0,67	0,67	0,67	0,67	0,67	0,67	0,10	0,67	0,67
s5	0,67	0,67	0,67	0,67	0,67	0,67	0,67	0,67	0,67	0,67	0,10	0,67
s6	0,67	0,67	0,67	0,67	0,67	0,67	0,67	0,67	0,67	0,67	0,67	0,10
Δ Imaginário (%)												
	c1	c2	c3	c4	c5	c6	s1	s2	s3	s4	s5	s6
c1	-0,05	-0,07	-0,08	-0,08	-0,09	-0,09	-0,06	-0,07	-0,08	-0,08	-0,09	-0,09
c2	-0,07	-0,05	-0,07	-0,08	-0,08	-0,09	-0,07	-0,06	-0,07	-0,08	-0,08	-0,09
c3	-0,08	-0,07	-0,05	-0,07	-0,08	-0,08	-0,08	-0,07	-0,06	-0,07	-0,08	-0,08
c4	-0,08	-0,08	-0,07	-0,05	-0,07	-0,08	-0,08	-0,08	-0,07	-0,06	-0,07	-0,08
c5	-0,09	-0,08	-0,08	-0,07	-0,05	-0,07	-0,09	-0,08	-0,08	-0,07	-0,06	-0,07
c6	-0,09	-0,09	-0,08	-0,08	-0,07	-0,05	-0,09	-0,09	-0,08	-0,08	-0,07	-0,06
s1	-0,06	-0,07	-0,08	-0,08	-0,09	-0,09	-0,06	-0,07	-0,08	-0,08	-0,09	-0,09
s2	-0,07	-0,06	-0,07	-0,08	-0,08	-0,09	-0,07	-0,06	-0,07	-0,08	-0,08	-0,09
s3	-0,08	-0,07	-0,06	-0,07	-0,08	-0,08	-0,08	-0,07	-0,06	-0,07	-0,08	-0,08
s4	-0,08	-0,08	-0,07	-0,06	-0,07	-0,08	-0,08	-0,08	-0,07	-0,06	-0,07	-0,08
s5	-0,09	-0,08	-0,08	-0,07	-0,06	-0,07	-0,09	-0,08	-0,08	-0,07	-0,06	-0,07
s6	-0,09	-0,09	-0,08	-0,08	-0,07	-0,06	-0,09	-0,09	-0,08	-0,08	-0,07	-0,06

Ferramenta Piloto de Cálculo – Exemplo de Cálculo 3

Utilização dos dados de saída para entrada na rotina Cable Constants no ATP

Comparações entre resultados: Y_{shunt} (Python x ATP)

Diferenças percentuais entre matrizes Y_{shunt} : Python x ATP

Δ Imaginário (%)												
	c1	c2	c3	c4	c5	c6	s1	s2	s3	s4	s5	s6
c1	0,05	0,00	0,00	0,00	0,00	0,00	0,05	0,00	0,00	0,00	0,00	0,00
c2	0,00	0,05	0,00	0,00	0,00	0,00	0,00	0,05	0,00	0,00	0,00	0,00
c3	0,00	0,00	0,05	0,00	0,00	0,00	0,00	0,00	0,05	0,00	0,00	0,00
c4	0,00	0,00	0,00	0,05	0,00	0,00	0,00	0,00	0,00	0,05	0,00	0,00
c5	0,00	0,00	0,00	0,00	0,05	0,00	0,00	0,00	0,00	0,00	0,05	0,00
c6	0,00	0,00	0,00	0,00	0,00	0,05	0,00	0,00	0,00	0,00	0,00	0,05
s1	0,05	0,00	0,00	0,00	0,00	0,00	-0,03	0,00	0,00	0,00	0,00	0,00
s2	0,00	0,05	0,00	0,00	0,00	0,00	0,00	-0,03	0,00	0,00	0,00	0,00
s3	0,00	0,00	0,05	0,00	0,00	0,00	0,00	0,00	-0,03	0,00	0,00	0,00
s4	0,00	0,00	0,00	0,05	0,00	0,00	0,00	0,00	0,00	-0,03	0,00	0,00
s5	0,00	0,00	0,00	0,00	0,05	0,00	0,00	0,00	0,00	0,00	-0,03	0,00
s6	0,00	0,00	0,00	0,00	0,00	0,05	0,00	0,00	0,00	0,00	0,00	-0,03

$$Dif = \frac{Valor_{Python} - Valor_{ATP}}{Valor_{ATP}} \times 100\%$$

Referências

- [1] IEC 60287-1-1: Electric cables – Calculation of the current rating – Part 1-1: Current rating equations (100% load factor) and calculation of losses – General
- [2] Timaná Eraso, Luis Carlos (2019), “Análise de modelos de linhas de transmissão com parâmetros variantes com a frequência”. Dissertação de Mestrado. Escola Politécnica da USP
- [3] A. Ametani, "A General Formulation of Impedance and Admittance of Cables," in *IEEE Transactions on Power Apparatus and Systems*, vol. PAS-99, no. 3, pp. 902-910, May 1980
- [4] B. Gustavsen, "Panel session on data for modeling system transients insulated cables," *2001 IEEE Power Engineering Society Winter Meeting. Conference Proceedings (Cat. No.01CH37194)*, Columbus, OH, USA, 2001, pp. 718-723 vol.2
- [5] Cigré WG B1.30: TB 531 – Cable Systems Electrical Characteristics.
- [6] L. M. Wedepohl and D. J. Wilcox, "Transient analysis of underground power-transmission systems. System-model and wave-propagation characteristics," in *Proceedings of the Institution of Electrical Engineers*, vol. 120, no. 2, pp. 253-260, February 1973.
- [7] O. Saad, G. Gaba and M. Giroux, "A closed-form approximation for ground return impedance of underground cables," in *IEEE Transactions on Power Delivery*, vol. 11, no. 3, pp. 1536-1545, July 1996;
- [8] N. Nagaoka and A. Ametani, "Transient Calculations on Crossbonded Cables," in *IEEE Transactions on Power Apparatus and Systems*, vol. PAS-102, no. 4, pp. 779-787, April 1983.

Referências

[9] Fumitaka Nishimura (1973), “Cálculo de Parâmetros Elétricos de Cabos Subterrâneos”. Dissertação de Mestrado. Escola Politécnica da USP.

A photograph of high-voltage power lines and pylons at sunset or sunrise, with a body of water in the foreground. The sky is a warm yellow-orange color, and the water reflects the light. The pylons are silhouetted against the bright sky.

Aberto para colaborações
m.g.ribeiro@ieee.org